

## ПОТЕРИ В ЧАСТОТНО-УПРАВЛЯЕМОМ АСИНХРОННОМ ДВИГАТЕЛЕ ПРИ РАЗЛИЧНЫХ ЗАКОНАХ РЕГУЛИРОВАНИЯ И ТИПАХ ПРЕОБРАЗОВАТЕЛЕЙ ЧАСТОТЫ

*Стаття присвячена розгляду та аналізу специфіки розрахунків втрат у частотно-керованому асинхронному двигуні при різних законах регулювання (закон пропорційного регулювання, закон квадратичного регулювання, закон регулювання при постійній корисній потужності).*

*В статье рассмотрена и проанализирована специфика расчета потерь в частотно-управляемом асинхронном двигателе при различных законах регулирования (закон пропорционального регулирования, закон квадратичного регулирования, закон регулирования при постоянной мощности).*

### 1. ЗАКОНЫ РЕГУЛИРОВАНИЯ ЧАСТОТНО-УПРАВЛЯЕМЫХ АСИНХРОННЫХ ДВИГАТЕЛЕЙ

Одним из способов повышения эффективности работы асинхронных двигателей, работающих при переменных нагрузках, может быть замена применяемых в настоящее время нерегулируемых асинхронных двигателей на частотно-управляемые.

В основу анализа рабочих свойств частотно-управляемых асинхронных двигателей положен универсальный закон частотного управления. При работе двигателя с постоянными коэффициентом полезного действия, коэффициентом мощности и перегрузочной способностью, необходимо, одновременно с изменением частоты питающего напряжения, регулировать напряжение в зависимости от частоты и момента двигателя по закону [1]

$$\frac{U_1}{U_{1H}} = \frac{f_1}{f_{1H}} \cdot \sqrt{\frac{M_1}{M_H}}, \quad (1)$$

где  $U_1$ ,  $M_1$  - напряжение и момент двигателя при переменной частоте  $f_1$ ;  $U_{1H}$ ,  $M_H$  - напряжение и момент при частоте  $f_{1H}$ , что соответствует номинальному режиму работы.

Рассмотрим некоторые соотношения, характерные для частотно-управляемых двигателей:

относительная частота (коэффициент регулирования)

$$\alpha = \frac{f_1}{f_{1H}}, \quad (2)$$

абсолютное скольжение

$$\beta = \frac{f_2}{f_{1H}}, \quad (3)$$

где  $f_2$  - абсолютная частота тока ротора;

относительное скольжение

$$s = \frac{f_2}{f} \cdot \frac{f_2 \cdot f_{1H}}{f_1 \cdot f_{1H}} = \frac{\beta}{\alpha}, \quad (4)$$

относительное напряжение

$$\gamma = \frac{U_1}{U_{1H}}. \quad (5)$$

В общем случае при частотном управлении двигателем напряжение на зажимах статора может регулироваться как в функции относительной частоты  $\alpha$ , так и в функции момента нагрузки. При этом прини-

мается, что абсолютное скольжение  $\beta$  определяется нагрузкой на валу, а относительное напряжение  $\gamma$  есть функция  $\alpha$  и  $\beta$ .

В частном случае, когда  $\gamma$  не зависит от  $\beta$  (что характерно для наиболее распространенных разомкнутых систем частотного управления), величина  $\gamma$  или характер ее зависимости от  $\alpha$  не оказывают влияния на величину критического скольжения  $\beta_{kp}$  [1].

Обычно на практике используют частные законы регулирования в зависимости от назначения и режимов работы асинхронного привода. Рассмотрим основные законы регулирования.

**Закон пропорционального регулирования** (регулирование при постоянстве перегрузочной способности двигателя или регулирование при постоянном моменте) [1].

$$\frac{U_1}{U_{1H}} = \frac{f_1}{f_{1H}}, \quad (6)$$

или в относительных единицах

$$\gamma = \alpha, \quad (7)$$

при этом  $U_1 = U_{1H} \cdot \gamma = U_{1H} \cdot \alpha$ .

Закон используется при регулировании вниз от номинальной частоты вращения.

**Закон квадратичного регулирования**

Этот закон может быть получен из общего закона (1) с учетом  $M_1 \equiv f_1^2$ . Тогда

$$\frac{U_1}{U_{1H}} = \frac{f_1^2}{f_{1H}^2}, \quad (8)$$

или в относительных единицах

$$\gamma = \alpha^2, \quad (9)$$

при этом  $U_1 = U_{1H} \cdot \gamma = U_{1H} \cdot \alpha^2$ .

Закон используется при регулировании вниз от номинальной частоты вращения.

**Закон регулирования при постоянной полезной мощности.**

Этот закон может быть получен из общего закона (1) с учетом  $\frac{M_1}{M_H} = \frac{f_{1H}}{f_1}$ . Тогда

$$\frac{U_1}{U_{1H}} = \sqrt{\frac{f_1}{f_{1H}}}, \quad (10)$$

или в относительных единицах

$$\gamma = \sqrt{\alpha}, \quad (11)$$

при этом  $U_1 = U_{1H} \cdot \gamma = U_{1H} \cdot \sqrt{\alpha}$ , где  $\alpha > 1$ .

Закон используется при регулировании вверх от номинальной частоты вращения. Возможна реализация закона  $P_2 = \text{const}$  при ограничении напряжения, т.е.  $U_1 = \text{const}$ .

Выпускаемые частотно-управляемые асинхронные двигатели имеют различные диапазоны регулирования. Например, полный диапазон регулирования 1:22,5, что соответствует частотам  $f_1 = 5 \dots 90$  Гц, при этом диапазон регулирования вниз от номинальной частоты вращения 15:1 при  $f_1 = 60 \dots 5$  Гц, вверх от номинальной частоты вращения 1:1,5 при  $f_1 = 60 \dots 90$  Гц. При регулировании вниз от номинальной частоты используется закон регулирования при постоянном моменте, при регулировании вверх – закон регулирования при постоянной полезной мощности по выражению (10), либо также регулирование при постоянной полезной мощности и  $U_1 = \text{const}$ .

В последнем случае магнитный поток будет уменьшаться с ростом частоты  $f_1$  [2].

Проведенные исследования [2] показали, что при использовании двигателей общего назначения в качестве частотно-регулируемых, их мощность уменьшается на 20...15% в зависимости от величины синхронной частоты вращения. Причиной этого является несинусоидальность питающего напряжения, приводящая к возникновению дополнительных потерь, что увеличивает нагрев двигателей, а также ухудшение условий охлаждения при регулировании вниз от номинальной частоты вращения и самовентиляции двигателей.

В связи с этим, исследование тепловых режимов частотно-управляемых двигателей является весьма актуальным.

## 2. ОСНОВНЫЕ ЭЛЕКТРИЧЕСКИЕ И МАГНИТНЫЕ ПОТЕРИ В ДВИГАТЕЛЯХ

Расчет греющих потерь при различных законах регулирования, в первом приближении, проведем, предполагая синусоидальную форму напряжений и токов, наличие дополнительных потерь, возникающих при питании асинхронного двигателя от инвертора напряжений, учтем в дальнейшем.

Основные составляющие греющих потерь:

$P_{\text{эл1}}, P_{\text{эл2}}$  – электрические потери в обмотках статора и ротора;

$P_{\text{маг}}$  – магнитные потери в сердечнике статора;

$P_{\text{мех}}$  – механические потери;

$P_{\text{доп}}$  – дополнительные потери, связанные со вторичными процессами в двигателе (при синусоидальной форме напряжения и токов, согласно ГОСТ  $P_{\text{доп}} = 0,5\%$  от потребляемой мощности).

Магнитные потери  $p_{\text{маг}}$  могут быть определены по эмпирической формуле Штейнметца [3]

$$P_{\text{маг}} = k \cdot p_{1,0} \cdot \left( \frac{f_1}{50} \right) \cdot B^2 \cdot m. \quad (12)$$

Для рассмотренных законов частотного регулирования получим:

$$\text{a}) \gamma = \alpha.$$

Для упрощения анализа ограничимся значениями  $\alpha \geq 0,5$ , при которых не требуется корректировка  $\gamma$  для сохранения постоянства максимального момента, а, следовательно, магнитный поток  $\Phi \approx \text{const}$ .

$$P_{\text{маг}_\alpha} = P_{\text{маг}_H} \cdot \left( \frac{\alpha \cdot f_{1H}}{f_{1H}} \right)^n = P_{\text{маг}_H} \cdot \alpha^n, \quad (13)$$

где  $P_{\text{маг}_H}$  – магнитные потери при  $U_{1H}$ ,  $f_{1H}$ ;  $n$  – показатель степени, определяемый маркой стали.

$$\text{б}) \gamma = \alpha^2.$$

Текущее значение магнитного потока  $\Phi_\alpha$

$$\Phi_\alpha \approx \frac{\alpha^2 \cdot U_1}{4,44 \cdot f_1 \cdot \alpha \cdot W_1 \cdot k_{061}} = \Phi_H \cdot \alpha, \quad (14)$$

где  $\Phi_H$  – значение магнитного потока при  $U_{1H}$ ,  $f_{1H}$ , при этом  $B^2$  в (12) пропорционально  $\Phi_\alpha^2$ ,

$$P_{\text{маг}_\alpha} = P_{\text{маг}_H} \cdot \alpha^2 \cdot \alpha^n = P_{\text{маг}_H} \cdot \alpha^{(n+2)}. \quad (15)$$

$$\text{в}) \gamma = \sqrt{\alpha}.$$

Текущее значение магнитного потока  $\Phi_\alpha$

$$\Phi_\alpha \approx \frac{\sqrt{\alpha} \cdot U_1}{4,44 \cdot f_1 \cdot \alpha \cdot W_1 \cdot k_{061}} = \frac{\Phi_H}{\sqrt{\alpha}}, \quad (16)$$

тогда

$$P_{\text{маг}_\alpha} = P_{\text{маг}_H} \cdot \frac{1}{\alpha} \cdot \alpha^n = P_{\text{маг}_H} \cdot \alpha^{(n-1)}. \quad (17)$$

Механические потери  $P_{\text{мех}}$  можно определить по соотношению

$$P_{\text{мех}} = P_{\text{мех}_H} \cdot \alpha, \quad (18)$$

где  $P_{\text{мех}_H}$  – механические потери при  $f_1 = f_{1H}$ , определяемые по [3];  $k=1 \dots 1,5$  – коэффициент, определяемый габаритами двигателя и конструкцией подшипниковых узлов.

Расчет электрических потерь в обмотках статора и ротора  $P_{\text{эл1}}, P_{\text{эл2}}$  может быть выполнен с помощью "Г"-образной схемы замещения, представленной на рис. 1.

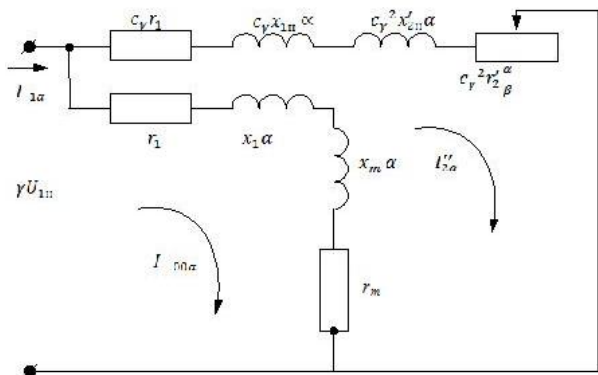


Рис. 1. "Г"-образная схема замещения частотно-управляемого асинхронного двигателя

Принято:

$r_1, r'_2$  - активные сопротивления обмоток статора и ротора (приведенного);

$x_{1H}, x'_{2H}$  - индуктивные сопротивления рассеивания обмоток статора и ротора (приведенного, неподвижного) при  $f_1 = f_{1H}$ ;

$x_m$  – индуктивное сопротивление взаимоиндукции, определяемое по результатам магнитного расчета при  $f_1 = f_{1H}$  в зависимости от текущего значения напряжения  $U_1 = U_{1H} \cdot \gamma$ . В качестве примера на рис. 2 приведена зависимость  $x_m = f(U_1)$  двигателя АИ160S4 (15 кВт, 380/660 В,  $2p = 4$ ).

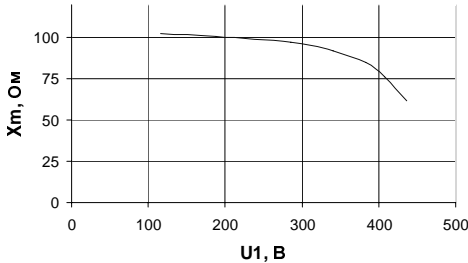


Рис. 2. Зависимость индуктивного сопротивления взаимоиндукции от напряжения  $U_1$  при  $f_1=f_{1\text{ном}}$  двигателя АИ160S4

$$c_\gamma = 1 + \frac{x_1}{x_m} \quad \text{коэффициент корректировки параметров при переходе от "T" - образной схемы замещения к "Г" - образной. Значения } c_\gamma \text{ уточняются при изменении } U_1, \text{ т.к. меняется } x_m.$$

$r_m$  – фиктивное активное сопротивление, потерии в котором при токе  $I_{00\alpha}$  равны магнитным потерям двигателя

$$P_{\text{маг}\alpha} = 3 \cdot I_{00\alpha}^2 \cdot r_m. \quad (19)$$

Ток идеального холостого хода  $I_{00\alpha}$  из схемы замещения при заданном  $U_1 = U_{1H} \cdot \gamma$  и соответствующем значении  $\alpha$

$$I_{00\alpha} = \frac{U_{1H} \cdot \gamma}{\sqrt{(r_1 + r_m)^2 + \alpha^2 \cdot (x_{1H} + x_m)^2}}. \quad (20)$$

Значение  $r_m$  можно определить методом последовательных приближений по известным значениям  $\gamma U_1$ ,  $\alpha x_1$ ,  $\alpha x_m$ ,  $r_1$ , и  $P_{\text{маг}\alpha}$ . Задаваясь первым приближением  $r_m$ , например  $r_m$  при  $U_{1H}$ ,  $f_{1H}$ , определим  $I_{00\alpha}$  по (20) и соответствующее значение  $P_{\text{маг}\alpha}$  по (19). Сравнивая полученное значение  $P_{\text{маг}\alpha}$  с найденным в зависимости от закона регулирования по (13), (15), (17), корректируем  $r_m$  в необходимом направлении и повторяем расчет до достижения заданной точности. Полученное таким образом значение  $r_m$  используем для окончательного расчета  $I_{00\alpha}$  при заданном  $\gamma$  и  $\alpha$ .

Активная составляющая тока холостого хода

$$I_{00\alpha_a} = I_{00\alpha} \cdot \cos \phi_{00} = \frac{\gamma \cdot U_{1H} \cdot (r_1 + r_m)}{(r_1 + r_m)^2 + \alpha^2 \cdot (x_{1H} + x_m)^2}. \quad (21)$$

Реактивная составляющая тока холостого хода

$$I_{00\alpha_p} = I_{00\alpha} \cdot \sin \phi_{00} = \frac{\gamma \cdot U_{1H} \cdot (x_{1H} + x_m)}{(r_1 + r_m)^2 + \alpha^2 \cdot (x_{1H} + x_m)^2}. \quad (22)$$

Ток рабочего контура "Г" - образной схемы замещения, с учетом  $s = \frac{\beta}{\alpha}$

$$I''_{2\alpha} = \frac{U_{1H} \cdot \gamma}{\sqrt{(c_\gamma \cdot r_1 + c_\gamma^2 + r'_2 \cdot \frac{\alpha}{\beta})^2 + (\alpha \cdot c_\gamma \cdot x_{1H} + \alpha \cdot c_\gamma^2 \cdot x'_{2H})^2}}, \quad (23)$$

где  $\gamma = \alpha$ ,  $\gamma = \alpha^2$ ,  $\gamma = \sqrt{\alpha}$  в зависимости от закона регулирования.

Обозначим

$$(c_\gamma \cdot r_1 + c_\gamma^2 + r'_2 \cdot \frac{\alpha}{\beta}) = R_{\text{п.к.}};$$

$$(\alpha \cdot c_\gamma \cdot x_{1H} + \alpha \cdot c_\gamma^2 \cdot x'_{2H}) = X_{\text{п.к.}}$$

Тогда активная составляющая тока рабочего контура

$$I''_{2\alpha_a} = \frac{U_{1H} \cdot \gamma \cdot R_{\text{п.к.}}}{R_{\text{п.к.}}^2 + X_{\text{п.к.}}^2}. \quad (24a)$$

Реактивная составляющая тока рабочего контура

$$I''_{2\alpha_p} = \frac{U_{1H} \cdot \gamma \cdot X_{\text{п.к.}}}{R_{\text{п.к.}}^2 + X_{\text{п.к.}}^2}. \quad (24b)$$

Активная и реактивная составляющие тока статора  $I_{1\alpha}$

$$I_{1\alpha_a} = I_{00\alpha_a} + I''_{2\alpha_a};$$

$$I_{1\alpha_p} = I_{00\alpha_p} + I''_{2\alpha_p}.$$

Ток статора

$$I_{1\alpha} = \sqrt{I_{1\alpha_a}^2 + I_{1\alpha_p}^2}. \quad (25)$$

Электрические потери в обмотках статора и ротора соответственно

$$P_{\text{эл1}} = m_1 \cdot I_{1\alpha}^2 \cdot r_1 \cdot m_{t1}, \quad (26)$$

$$P_{\text{эл2}} = m_1 \cdot (I''_{2\alpha})^2 \cdot r'_2 \cdot m_{t2}, \quad (27)$$

где  $m_{t1}, m_{t2}$  – коэффициенты, зависящие от температуры нагрева обмоток статора и ротора.

Расчет потерь проводится для значений абсолютного скольжения  $\beta$

$$0 < \beta < \beta_{\text{кр}},$$

где  $\beta_{\text{кр}}$  при  $r_1 \neq 0$

$$\beta_{\text{кр}} = \alpha \cdot s_{\text{кр}} = \frac{c_\gamma \cdot r'_2 \cdot \alpha}{\sqrt{r_1^2 + \alpha^2 \cdot (x_{1H} + c_\gamma \cdot x_{2H})^2}}, \quad (28)$$

при уменьшении  $\alpha$ ,  $\beta_{\text{кр}}$  тоже уменьшается. При законе регулирования  $\gamma = \sqrt{\alpha}$  и  $\alpha > 1$ , можно пренебречь  $r_1$ , тогда

$$\beta_{kp} = \frac{c_\gamma \cdot r'_2}{x_{1h} + c_\gamma \cdot x_{2h}} = \text{const.} \quad (29)$$

При законе пропорционального регулирования  $\gamma = \alpha$ , при уменьшении  $\alpha$ , проявляется влияние падения напряжения на активном сопротивлении статора  $r_1$ , в результате магнитный поток уменьшается, а, значит, уменьшается и момент двигателя. Поэтому, при  $\alpha \leq 0.5$  необходимо компенсировать падение напряжения на  $r_1$ . В этом случае

$$U_1 = U_{1h} \cdot \alpha + I_1 \cdot r_1. \quad (30)$$

При этом магнитный поток не зависит от  $\alpha$  и определяется только величиной нагрузки на валу.

### 3. ДОБАВОЧНЫЕ ПОТЕРИ В ДВИГАТЕЛЯХ ОТ ВЫСШИХ ГАРМОНИК ПИТАЮЩЕГО НАПРЯЖЕНИЯ

В настоящее время, за счет применения широтно-импульсной модуляции (ШИМ) обеспечивается практически синусоидальная форма напряжения, подводимого к двигателю, однако, в эксплуатации находится большое количество электроприводов на базе частотно-управляемых асинхронных двигателей, у которых ШИМ отсутствуют, а, значит, подводимое к двигателю напряжение имеет ступенчатую (несинусоидальную) форму. Следует иметь в виду, что применение ШИМ не снимает проблему добавочных потерь, а увеличение частоты несущей ШИМ приводит к увеличению динамических потерь в силовых ключах и осложнению негативных волновых процессов в системе асинхронный двигатель – преобразователь частоты [5]. По данным [6] при использовании инверторов на базе полностью управляемых IGBT, преобразующих выходное напряжение в последовательность прямоугольных импульсов высокой частоты с крутым фронтом (ШИМ), негативные волновые процессы приводят к выходу из строя изоляции обмотки статора через 2...3 года эксплуатации.

Несинусоидальность напряжения при частотном регулировании асинхронных двигателей приводит к возникновению добавочных потерь в обмотках и магнитопроводе от действия высших гармоник тока и магнитного потока, созданных высшими гармониками питающего напряжения [2, 4].

Число полюсов обмотки статора для высших гармоник тока такое же, как и для основной гармоники. Частота вращения магнитных полей создаваемых высшими гармониками тока  $n_v = n_1 \cdot v$ , где  $v$  – номер гармоники. Величина скольжения

$$s_v = \frac{n_1 \cdot v \pm n_2}{n_1 \cdot v} \approx 1 + \frac{1}{v}.$$

Следовательно, в первом приближении, можно принять, что скольжение для высших гармоник равно единице, т.е. для них ротор неподвижен.

При расчете добавочных потерь в обмотках необходимо учитывать изменение активных и индуктивных сопротивлений обмоток за счет эффекта вытеснения тока [4]. При всыпной обмотке статора влиянием эффекта вытеснения тока можно пренебречь. Если же обмотка статора выполнена из прямо-

угольных проводников, то влияние эффекта вытеснения тока на активное сопротивление обмотки статора должно учитываться, т.к. коэффициент увеличения активного сопротивления статора для высших гармоник  $K_{1v}$  достигает 1,5...2,0 в зависимости от номера гармоники и конструкции обмотки. Для обмотки ротора учет влияния эффекта вытеснения тока обязателен во всех случаях.

Ограничимся рассмотрением короткозамкнутой обмотки ротора из алюминия А7.

Приведенная высота стержня ротора

$$\xi_{v2} = 0,0118 \cdot \frac{q_{ct}}{b_{ct}} \cdot \sqrt{6 \cdot k \cdot f_{1nom}}, \quad (31)$$

где  $q_{ct}$ ,  $b_{ct}$  – сечение и средняя ширина стержня соответственно (здесь и в дальнейшем размеры в мм);  $k$  – принимает значения 1; 2; 3 (из выражения для номеров высших гармоник  $v=6k\pm 1$ )

Если  $\xi_{v2} > 2$ , то коэффициент увеличения активного сопротивления ротора

$$K_{2rv} = 1 + (\xi_{v2} - 1) \cdot \frac{l_2}{l_{w2}}, \quad (32)$$

где  $l_2$  – длина стержня ротора;  $l_{w2} = l_2 + 2b_{kk}$ ;  $b_{kk}$  – ширина короткозамкнутого кольца обмотки ротора.

В качестве примера  $K_{2rv}$  значения были рассчитаны для асинхронного двигателя АИ160S4 (15 кВт, 380/660 В, 2p = 4)

$k=1; v=5; 7$	$K_{2rv} = 5,833$
$k=2; v=11; 13$	$K_{2rv} = 8,165$
$k=3; v=17; 19$	$K_{2rv} = 9,953.$

Если  $\xi_{v2} < 2$ , то коэффициент уменьшения индуктивного сопротивления рассеяния ротора

$$K_{2xv} = 1 + \left( \frac{1,5}{\xi_{v2}} - 1 \right) \cdot \frac{l_2}{l_{w2}}. \quad (33)$$

Для двигателя АИ160S4:

$k=1; v=5; 7$	$K_{2xv} = 0,374$
$k=2; v=11; 13$	$K_{2xv} = 0,325$
$k=3; v=17; 19$	$K_{2xv} = 0,303.$

При расчете высших гармоник тока намагничивающим контуром в схеме замещения можно пренебречь в связи с малостью амплитуд высших гармоник напряжения и повышенной частотой. Кроме того, для высших гармоник тока индуктивные сопротивления значительно больше активных. Поэтому можно принять

$$I_{1v} = I''_{2v} = \frac{U_{1h} \cdot \gamma}{V^2 \cdot (x_{1h} \cdot \alpha + x'_{2h} \cdot \alpha \cdot K_{2xv})}, \quad (34),$$

где  $U_{1h} \cdot \gamma$  – действующее значение первой гармоники напряжения.

Электрические потери в обмотках статора и ротора от всех высших гармоник тока

$$P_{el1v} = \sum_{v=6k\pm 1}^{v=19} (m_1 \cdot I_{1v}^2 \cdot r_1 \cdot m_{t1}), \quad (35)$$

$$P_{el2v} = \sum_{v=6k\pm 1}^{v=19} (m_1 \cdot (I''_{2v})^2 \cdot r'_2 \cdot K_{2rv} \cdot m_{t2}), \quad (36)$$

где  $K = 1; 2; 3$ .

Практикой установлено [4], что необходим учет гармоник с  $v$  не более 19.

Наиболее существенное влияние оказывала бы третья гармоника, но при соединении обмотки статора в звезду, третья и кратные трем гармоники отсутствуют. Поэтому для частотно-управляемых асинхронных двигателей соединение обмотки статора в звезду обязательно.

Для двигателей АИ160S4:  $p_{3\text{л}1\nu}=12\%p_{3\text{л}1}$  из (26);  $p_{3\text{л}2\nu}=70\%p_{3\text{л}2}$  из (27).

Высшие гармоники напряжения создают магнитные поля, обусловливающие добавочные потери в магнитопроводе. Поскольку скольжение ротора по отношению к этим полям будет близко к единице, магнитные потери будут иметь место и в роторе. По аналогии с основными магнитными потерями при частотном регулировании можно принять

$$p_{\text{маг}_v} = p_{\text{маг}_\alpha} \cdot \left( \frac{B_v}{B_1} \right)^2 \cdot \left( \frac{f_v}{\alpha \cdot f_{1\text{H}}} \right) \cdot \frac{m_c + m_p}{m_c}, \quad (37)$$

где  $p_{\text{маг}_\alpha}$  – основные магнитные потери;  $B_v$ ,  $B_1$  – индукция от потока высшей гармоники и от потока основной гармоники;  $f_v$ ,  $\alpha \cdot f_{1\text{H}}$  – частота напряжения высшей гармоники и основной гармоники;  $m_c$ ,  $m_p$  – массы стали статора и ротора.

В первом приближении [2]

$$B_v = \frac{U_v}{f_v} = \frac{U_1}{f_1} \cdot \frac{1}{v^2} = B_1 \cdot \frac{1}{v^2}. \quad (38)$$

Суммируя потери от всех гармоник, получим

$$p_{\text{маг}_v} = p_{\text{маг}_\alpha} \cdot \frac{m_c + m_p}{m_c} \cdot \sum_{v=6k \pm 1}^{\infty} v^{-(4-n)}. \quad (39)$$

С увеличением номера гармоники добавочные магнитные потери резко убывают. Для двигателя АИР16S4:  $p_{\text{маг}_v} = 6,7\%$  от  $p_{\text{маг}_\alpha}$  из (13).

Данные расчета добавочных потерь от высших гармоник тока и магнитного потока показывают, что эти потери оказывают существенное влияние на тепловое состояние частотно-управляемого асинхронного двигателя.

#### 4. ОПРЕДЕЛЕНИЕ ЗАВИСИМОСТИ ЭЛЕКТРОМАГНИТНОГО МОМЕНТА ОТ АБСОЛЮТНОГО СКОЛЬЖЕНИЯ ПРИ РАЗЛИЧНЫХ ЗАКОНАХ РЕГУЛИРОВАНИЯ

Величины греющих потерь частотно-управляемого асинхронного двигателя при различных законах регулирования определяются величиной высшего момента на валу, частотой питающего напряжения, т.е.  $\alpha$  и величиной питающего напряжения  $U_1$ , т.е.  $\gamma$ .

В связи с этим, при расчете греющих потерь в каждой точке диапазонов регулирования частоты вращения и нагрузки на валу необходимо иметь зависимости электромагнитного момента от абсолютного скольжения  $\beta$ .

В качестве базового используем выражение для электромагнитного момента в номинальном режиме:

$$M_{\text{эм}} = \frac{m_1 \cdot P_2 \cdot U_{1\text{H}}^2 \cdot c_\gamma \cdot \frac{r'_2}{s}}{2\pi f_{1\text{H}} \left[ \left( c_\gamma \cdot r_1 + c_\gamma^2 \cdot \frac{r'_2}{s} \right)^2 + \left( c_\gamma \cdot x_1 + c_\gamma^2 \cdot x'_2 \right)^2 \right]} \quad (40)$$

с учетом  $s = \frac{\beta}{\alpha}$ ;  $U_1 = U_{1\text{H}} \cdot \gamma$ ;  $f_1 = f_{1\text{H}} \cdot \alpha$  получим:

$$M_{\text{эм}} = \frac{m_1 \cdot P_2 \cdot (U_{1\text{H}} \cdot \gamma)^2 \cdot c_\gamma \cdot r'_2}{2\pi f_{1\text{H}} \cdot \beta \left[ \left( c_\gamma \cdot r_1 + c_\gamma^2 \cdot r'_2 \cdot \frac{\alpha}{\beta} \right)^2 + \alpha^2 \left( c_\gamma \cdot x_1 + c_\gamma^2 \cdot x'_2 \right)^2 \right]}. \quad (41)$$

Используя (41) можно получить зависимости  $M_{\text{эм}} = f(\beta)$ , где  $\beta = 0 \dots \beta_{\text{пуск}}$  при различных значениях  $\alpha$  и различных законах регулирования:  $\gamma = \alpha$ ;  $\gamma = \alpha^2$ ;  $\gamma = \sqrt{\alpha}$  и  $P_2 = \text{const}$  при  $U_1 = \text{const}$ . При пуске двигателя, когда относительное скольжение  $s = 1$ , абсолютное скольжение  $\beta_{\text{пуск}} = a$ .

Одновременно с расчетом  $M_{\text{эм}} = f(\beta)$ , используя (23) и (25) получим зависимости  $I''_{2\alpha} = f(\beta)$  и  $I_{1\alpha} = f(\beta)$  для расчета электрических потерь в обмотках ротора и статора.

Таким образом, получены расчетные выражения для определения всех составляющих греющих потерь асинхронного двигателя при частотном регулировании, что позволит исследовать тепловое состояние двигателя в различных режимах работы.

#### СПИСОК ЛИТЕРАТУРЫ

- Петрушин В.С. Асинхронные двигатели в регулируемом электроприводе. – Одесса: Наука и техника, 2006. – 320 с.
- Радин В.И., Брускин А.Э., Зорохович А.Е. Электрические машины. Асинхронные машины. Москва "Высшая школа" 1988. – 324 с.
- Гольдберг О.Д., Гурин Я.С., Свириденко И.С. Проектирование электрических машин. Москва "Высшая школа" 1984. – 431 с.
- Курбасов А.С., Седов В.И., Сорин Л.Н. Проектирование тяговых электродвигателей. Москва "Транспорт" 1987. – 535 с.
- Зайцев А.М., Захаров А.В., Кобелев А.С. Новая серия частотно-регулируемых асинхронных двигателей общего применения разработки ОАО "НИПТИЭМ". "Электротехника" №9, 2008 г.– С. 2-10.
6. Вербовой П.Ф., Заболотный А.П., Съянов А.М. "Асинхронные двигатели для тиристорного электропривода". – К: "Наукова думка", 1994 г., 243 с.

Поступила 25.11.2008

*Осташевский Николай Александрович*, к.т.н., проф.,  
*Иваненко Виталий Никитович*, к.т.н., проф.,  
*Петренко Александр Николаевич*  
 Национальный технический университет  
 "Харьковский политехнический институт"  
 Украина, 61002, Харьков, ул. Фрунзе, 21, НТУ "ХПИ",  
 кафедра "Электрические машины"  
 тел. (0572) 707-65-14; сайт: <http://users.kpi.kharkov.ua/kem/>